

軌道相互作用の基本的原理

原理 1 二つの軌道が相互作用すると、新しい二つの軌道が生じる。

$$\phi = c_1 \chi_1 + c_2 \chi_2 \quad (c_1 c_2 s > 0)$$

$$\phi^* = c_1^* \chi_1 + c_2^* \chi_2 \quad (c_1^* c_2^* s < 0)$$

原理 2 新しい軌道のうち、エネルギーが低い方の軌道(ϕ)はもとの低い軌道(χ_1)よりエネルギーが低く($\varepsilon < \varepsilon_1$)、高い方の軌道(ϕ^*)はもとの高い軌道(χ_2)よりも高くなる($\varepsilon^* > \varepsilon_2$)。

原理 3 エネルギーが高い方の軌道(ϕ^*)は、反結合的で、相互作用している領域から電子を追い出す性質があり、低い軌道(ϕ)は、結合的で、その領域に電子をためる性質がある。

原理 4 新しい高い方の軌道 ϕ^* は、もとの高い軌道 χ_2 を主成分にもち、低い方の軌道 ϕ は、もとの低い軌道 χ_1 を主成分にもつ。

原理 5 もとの軌道のエネルギー差 ($\Delta E = \varepsilon_2 - \varepsilon_1$) が小さいほど、また重なりが大きいほど、相互作用は強い。すなわち、高い軌道の不安定化量 ($\Delta^* = \varepsilon^* - \varepsilon_2$) も低い軌道の安定化量 ($\Delta = \varepsilon_1 - \varepsilon$) もともに増える。

原理 6 不安定化量の方が、安定化量より大きい ($\Delta^* > \Delta$)。

原理 7 反結合性軌道が相互作用領域から電子を追いやる効果の方が、結合性軌道がそこに電子をためる効果よりも大きい。

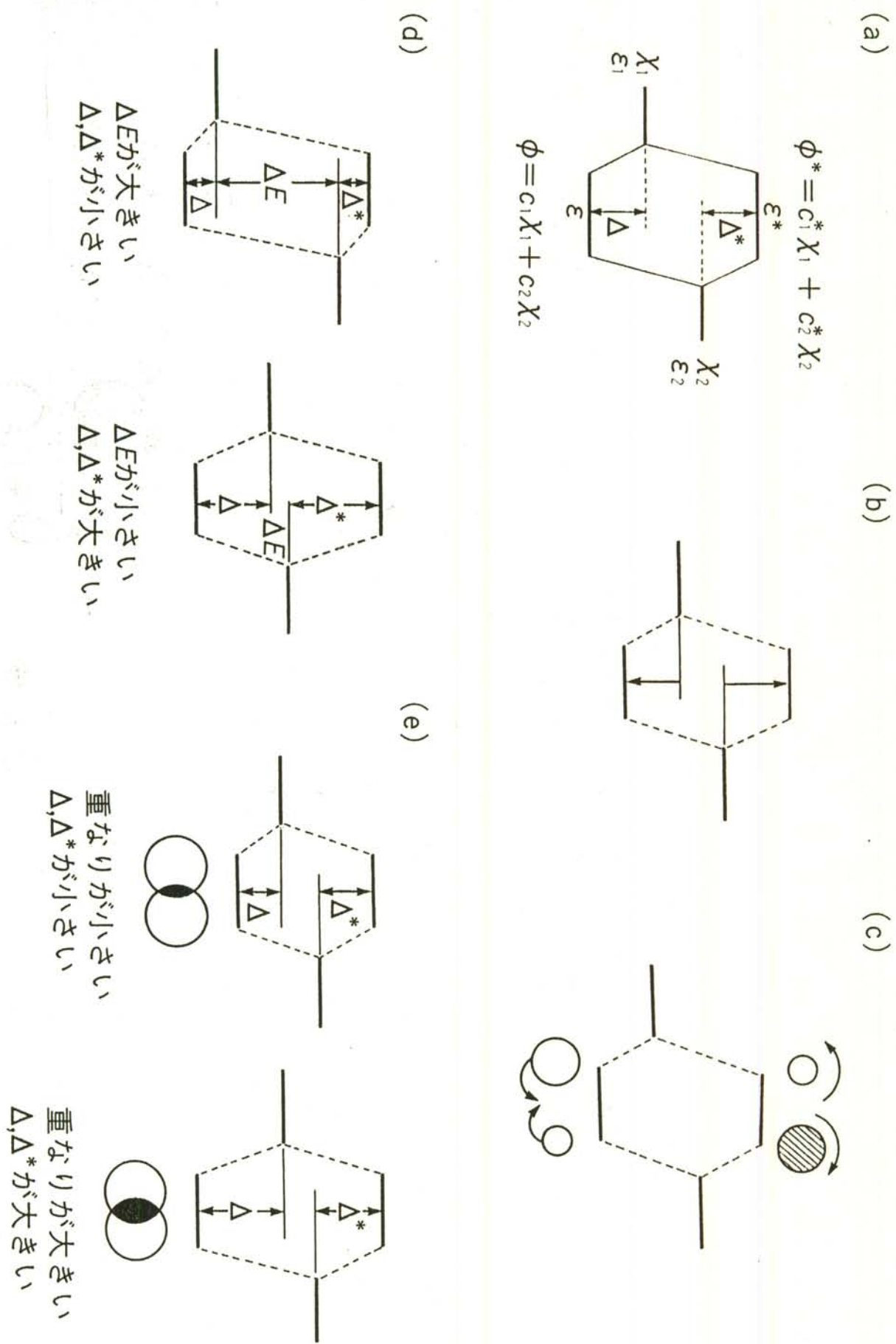


図 4-3 軌道相互作用の原理

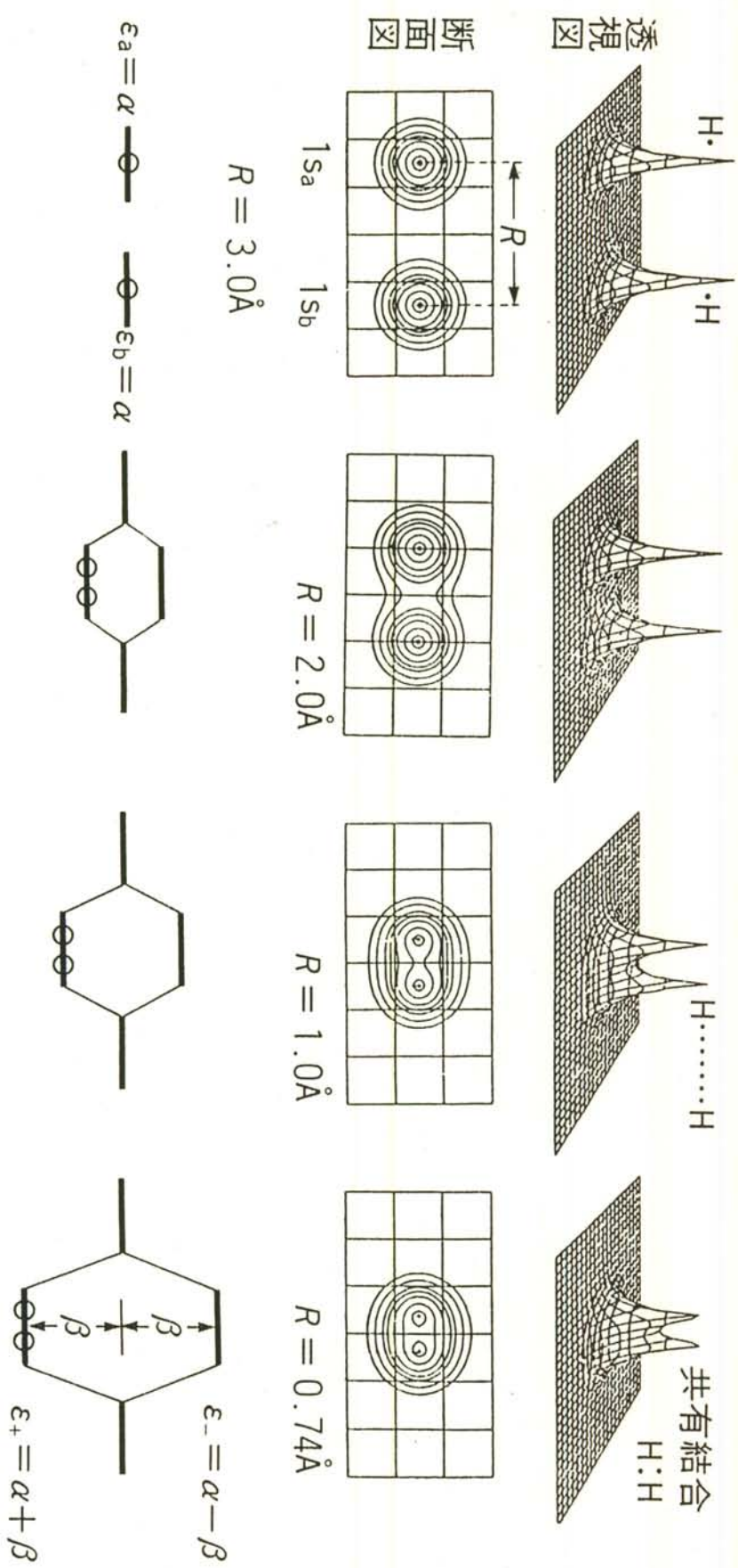


図 3-1 水素分子内の電子分布の変化

透視図を網目の面で切断すると下図の等高線が現れる($1\text{\AA} = 10^{-8}\text{cm}$)。下のエネルギー分裂の図は、重なりを含まない Hückel 法によるものである。

軌道の分裂と軌道のエネルギー

α : クーロン積分

水素原子が孤立しているときの電子1個のエネルギー

β : 共鳴積分

2個の原子軌道の重なった空間に置かれた電子1個の
エネルギー

(a) $R = 3.0 \text{ \AA}$ (相互作用なしの場合)

$$\begin{vmatrix} \alpha - \varepsilon & 0 \\ 0 & \alpha - \varepsilon \end{vmatrix} = 0$$

$$(\alpha - \varepsilon)(\alpha - \varepsilon) - 0 \times 0 = 0$$

$$\varepsilon = \alpha, \alpha$$

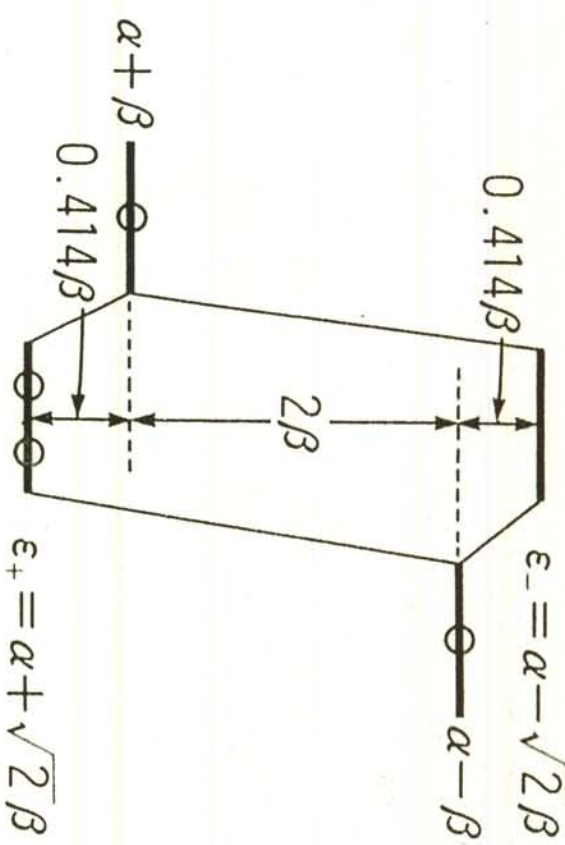
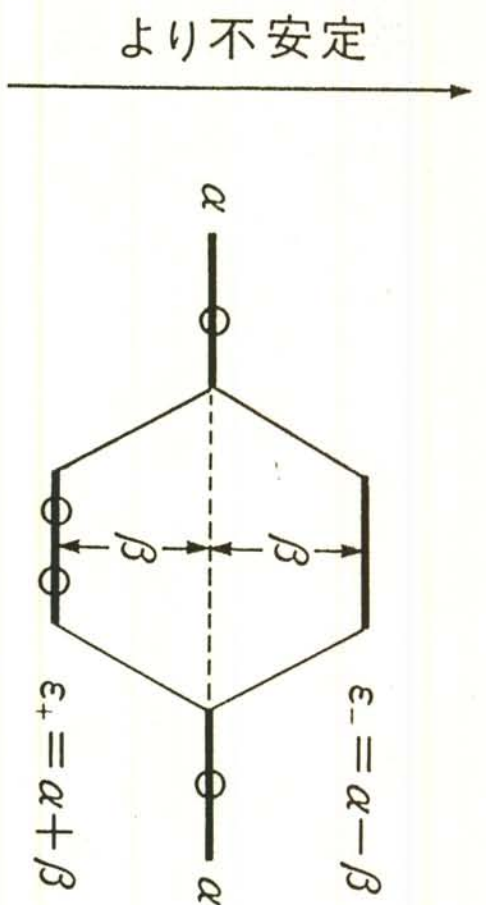
(b) $R = 0.74 \text{ \AA}$ (水素分子の場合)

$$\begin{vmatrix} \alpha - \varepsilon & \beta \\ \beta & \alpha - \varepsilon \end{vmatrix} = 0$$

$$(\alpha - \varepsilon)(\alpha - \varepsilon) - \beta \times \beta = 0$$

$$\varepsilon = \alpha + \beta, \alpha - \beta$$

水素分子



$$\begin{vmatrix} \alpha - \varepsilon & \beta \\ \beta & \alpha - \varepsilon \end{vmatrix} = 0$$

$\varepsilon_+ = \alpha + \beta, \varepsilon_- = \alpha - \beta$

$$\begin{vmatrix} \alpha + \beta - \varepsilon & \beta \\ \beta & \alpha - \beta - \varepsilon \end{vmatrix} = 0$$

$\varepsilon_+ = \alpha + \sqrt{2}\beta, \varepsilon_- = \alpha - \sqrt{2}\beta$

図 3-2 水素分子と異核 2 原子分子での軌道の分裂

下の二つの行列式で対角項が異なっている。水素の 1s 軌道の電子エネルギーと、たとえば Li の 2s 軌道の電子エネルギーは当然異なる。この差を簡単のために β 単位で α を修飾する。これはあくまで便宜的な扱いで、厳密には数値(絶対値)ではっきり差が表せる。

異核 2 原子分子

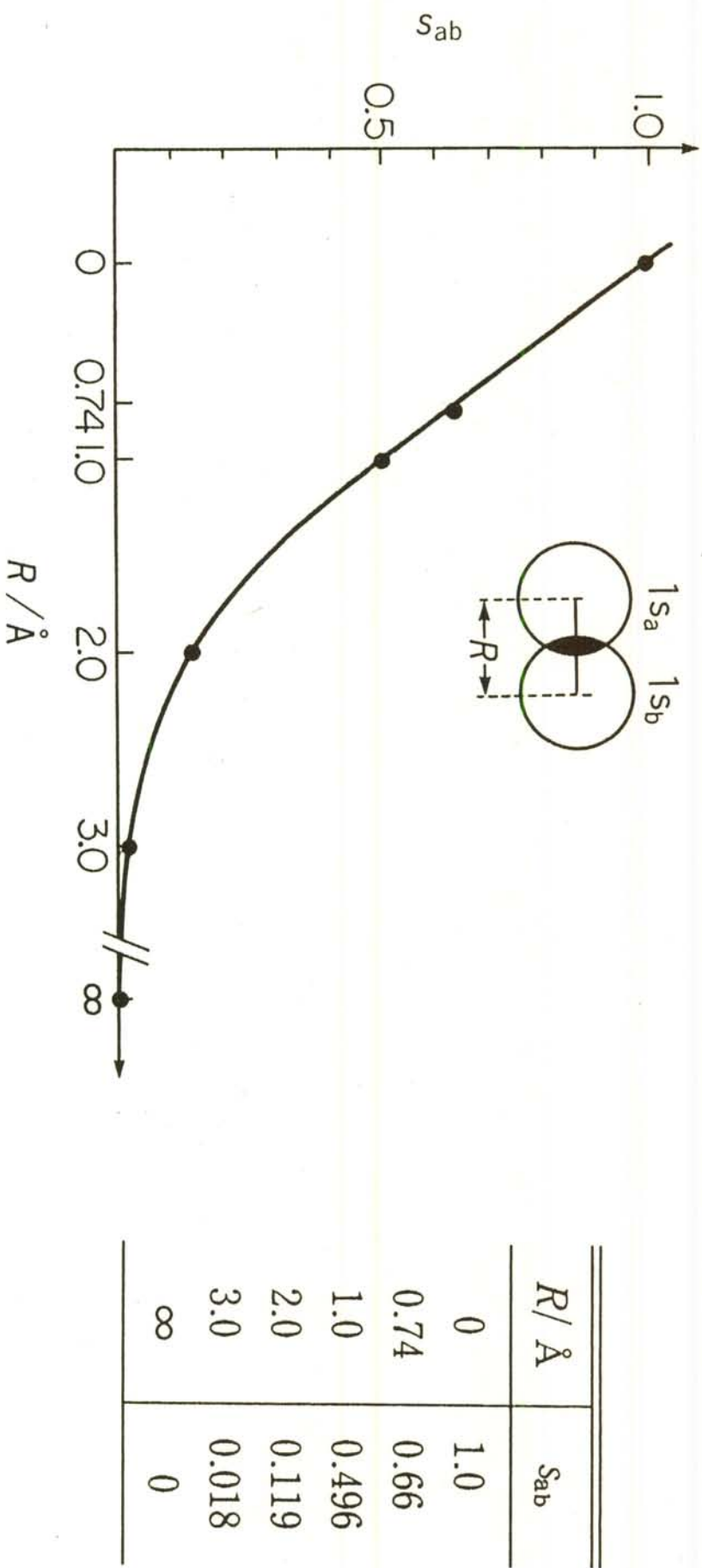


図 3-3 水素原子の $1s_a$ と $1s_b$ 原子軌道間の重なり積分 S_{ab} の距離依存性

$$\begin{vmatrix} \alpha - s_{aa}\varepsilon & \beta - s_{ab}\varepsilon \\ \beta - s_{ab}\varepsilon & \alpha - s_{bb}\varepsilon \end{vmatrix} = 0$$

ただし, $s_{aa} = s_{bb} = 1$



$\varepsilon_+, \varepsilon_-$ を求める

$$HC = SC\varepsilon$$

$$H = \begin{pmatrix} \alpha & \beta \\ \beta & \alpha \end{pmatrix}, \quad C = \begin{pmatrix} c_a^+ \\ c_b^+ \end{pmatrix}$$

$$\varepsilon S = \begin{pmatrix} \varepsilon & 0 \\ 0 & \varepsilon \end{pmatrix} \begin{pmatrix} s_{aa} & s_{ab} \\ s_{ab} & s_{bb} \end{pmatrix} = \begin{pmatrix} \varepsilon s_{aa} & \varepsilon s_{ab} \\ \varepsilon s_{ab} & \varepsilon s_{bb} \end{pmatrix}$$

c_a^+, c_b^+ を求める連立方程式は,

$$c_a^+(\alpha - \varepsilon) + c_b^+(\beta - \varepsilon s_{ab}) = 0$$

$$c_a^+(\beta - \varepsilon s_{ab}) + c_b^+(\alpha - \varepsilon) = 0$$

$$c_a^{+2} + c_b^{+2} + 2c_a^+c_b^+s_{ab} = 1 \quad \text{規格化条件}$$

\mathcal{E}_+ の固有値に対し : $\phi_+ = c_a^+ \times 1s_a + c_b^+ \times 1s_b$

\mathcal{E}_- の固有値に対し : $\phi_- = c_a^- \times 1s_a + c_b^- \times 1s_b$

上記を解くと,

$$\varepsilon_+ = \frac{\alpha + \beta}{1 + s_{ab}}, \phi_+ = \pm \frac{1}{\sqrt{2(1 + s_{ab})}} (1s_a + 1s_b)$$

$$\varepsilon_- = \frac{\alpha - \beta}{1 - s_{ab}}, \phi_- = \pm \frac{1}{\sqrt{2(1 - s_{ab})}} (1s_a - 1s_b)$$

$$1s_a = \chi_a, 1s_b = \chi_b$$

$$1 = \int \phi_+ \phi_+ dv = \int (c_a^+ \chi_a + c_b^+ \chi_b)^2 dv$$

$$= c_a^{+2} \underbrace{\int \chi_a \chi_a dv}_{S_{aa}=I} + 2c_a^+ c_b^+ \underbrace{\int \chi_a \chi_b dv}_{S_{ab}} + c_b^{+2} \underbrace{\int \chi_b \chi_b dv}_{S_{bb}=I}$$

$c_a^+ = c_b^+ = \pm \frac{1}{\sqrt{2(1 + s_{ab})}}$ を代入すると,

$$1 = \frac{1}{(1 + s_{ab})} + \frac{s_{ab}}{(1 + s_{ab})}$$

$$1 + 1 = \frac{2}{(1 + s_{ab})} + \frac{2s_{ab}}{(1 + s_{ab})}$$

電子 2 個分 山の部分 山の間

TABLE 7.1. Typical Bond Angles in AH_2 ¹

AH_2	$\angle \text{HAH}$ ($^\circ$)	AH_2	$\angle \text{HAH}$ ($^\circ$)
BH_2	131 ^a	AlH_2	119 ^a
CH_2	136 ^b	SiH_2	123 ^b
NH_2	103.3 ^c	PH_2	91.7 ^c
OH_2	104.5 ^d	SH_2	92.1 ^d

^a(2 a_1)¹.
^b(2 a_1)₁ (1 b_1)¹.
^c(2 a_1)₂ (1 b_1)¹.
^d(2 a_1)₂ (1 b_1)².

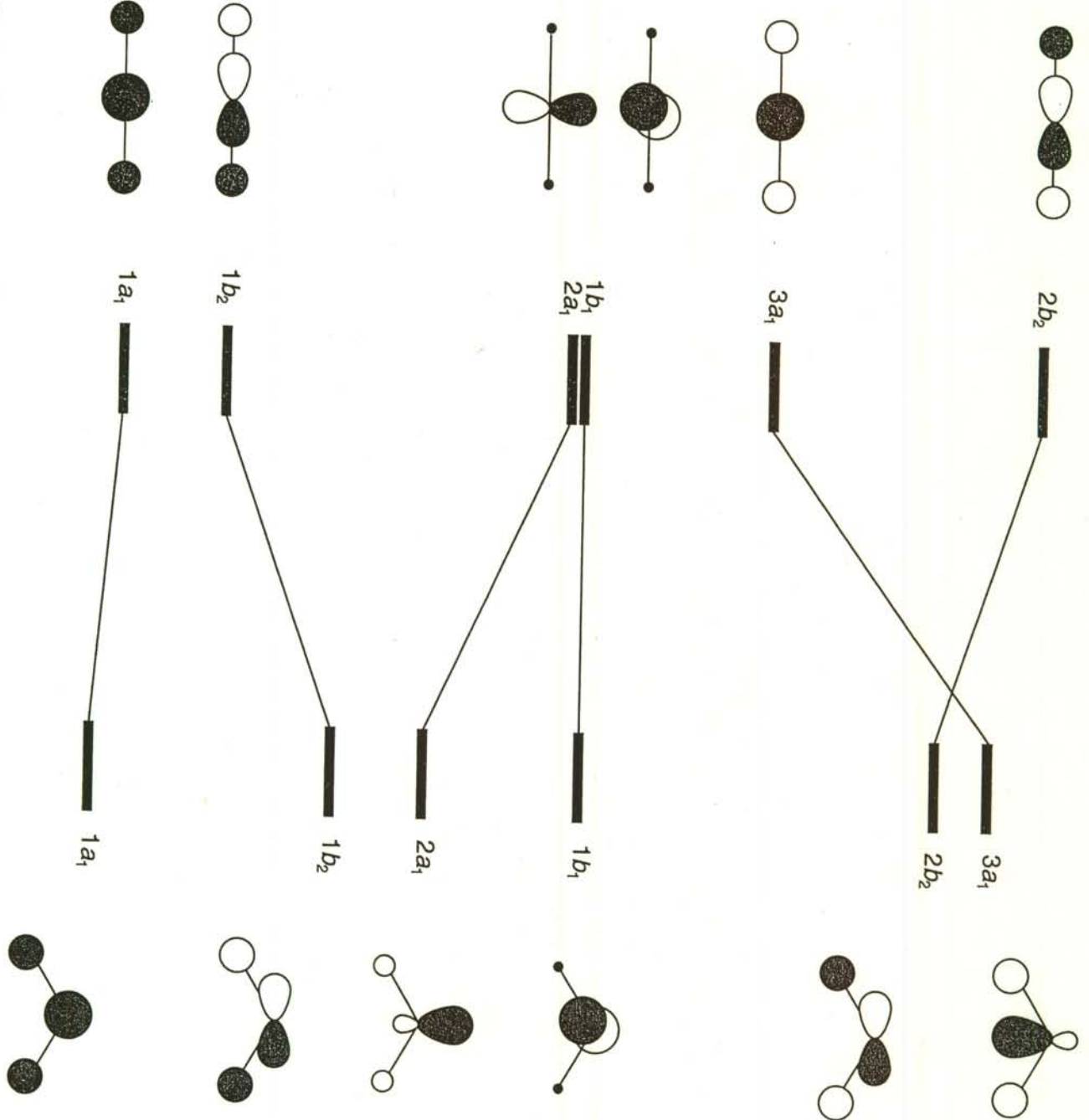


Figure 10.1. Orbital correlation diagram for an AH_2 molecule as it bends away from the linear geometry.

表 AH₂ 系分子の構造

価電子数	構造
	linear
2	H ₃ ⁺ (60)
4	BeH ₂ , BH ₂ ⁺
5	BH ₂ (131), CH ₂ ⁺
6	BH ₂ ⁻ (102), CH ₂ , NH ₂ ⁺
7	CH ₂ ⁻ (99), NH ₂ (103), H ₂ O ⁺⁽¹¹⁰⁾
8	NH ₂ ⁻ (104), H ₂ O(104.5)

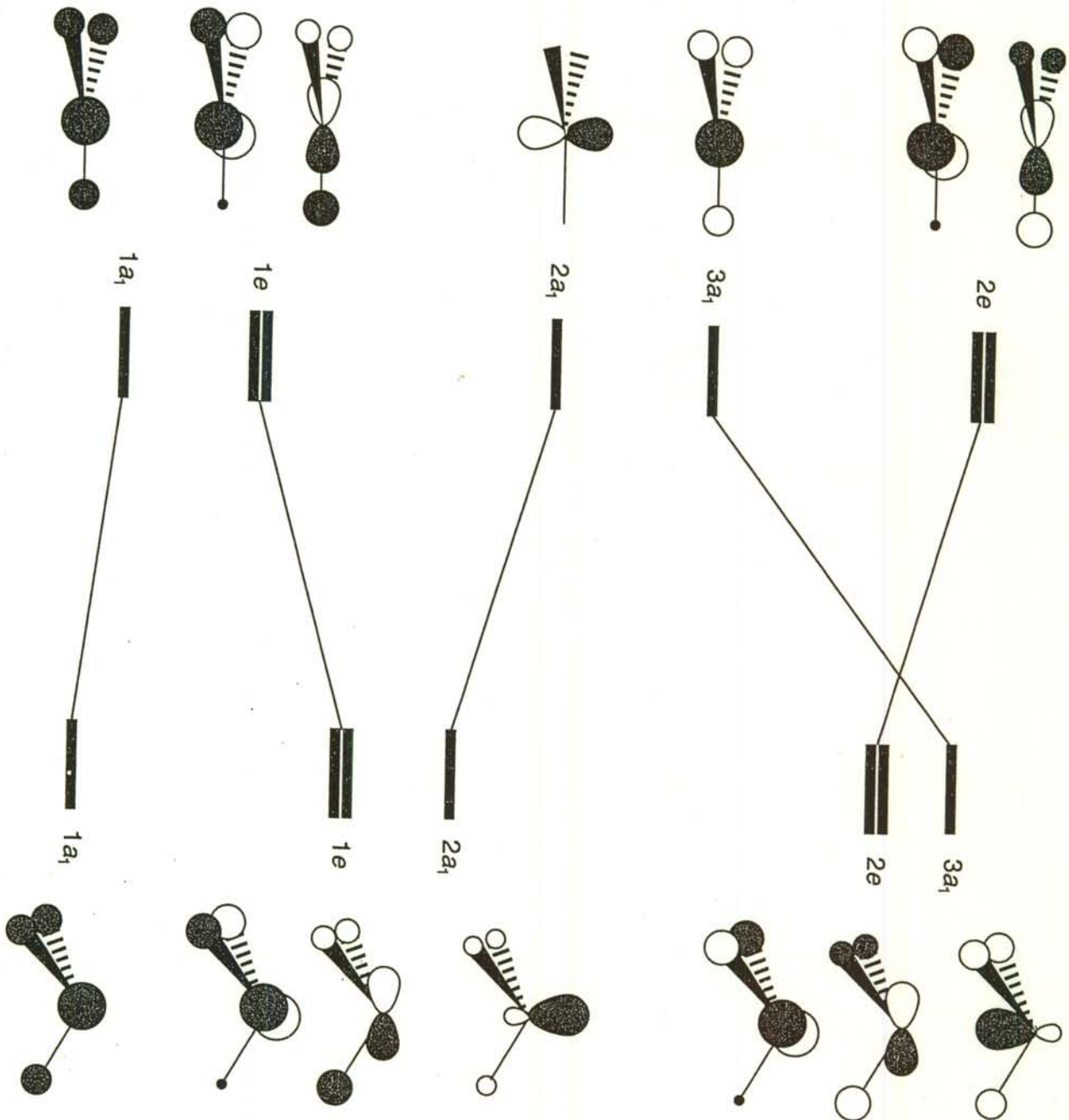


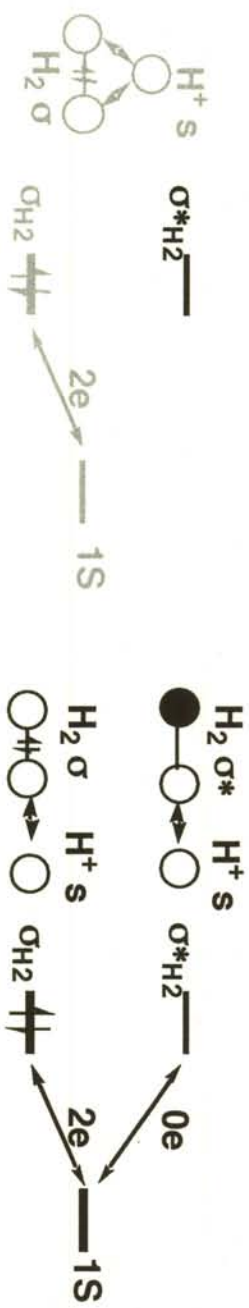
Figure 10.2. Orbital correlation diagram for an AH_3 as it bends away from a trigonal planar to trigonal pyramidal geometry.

表 AH₃ 系分子の構造

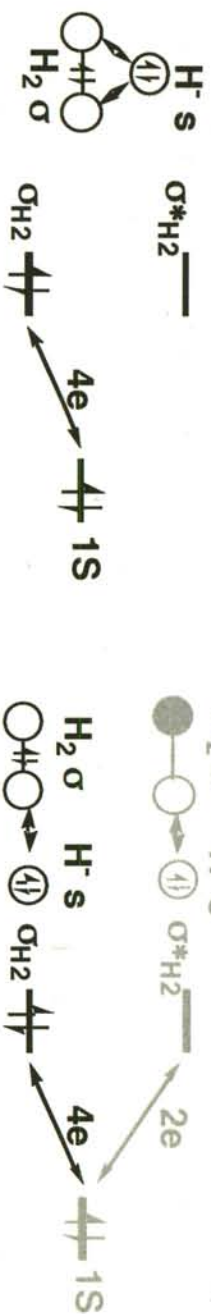
価電子数	構造	
	planar	pyramidal
4	BeH ₃ ⁺	
5	BeH ₃	
6	BeH ₃ ⁻ , BH ₃ , AlH ₃ ,	
	CH ₃ ⁺	
7	BH ₃ ⁻ , CH ₃ , NH ₃ ⁺	AlH ₃ ⁻ , SiH ₃ , PH ₃ ⁺
8		CH ₃ ⁻ , OH ₃ ⁺ , SiH ₃ ⁻ , PH ₃ , NH ₃

Which structure is more favorable in energy?

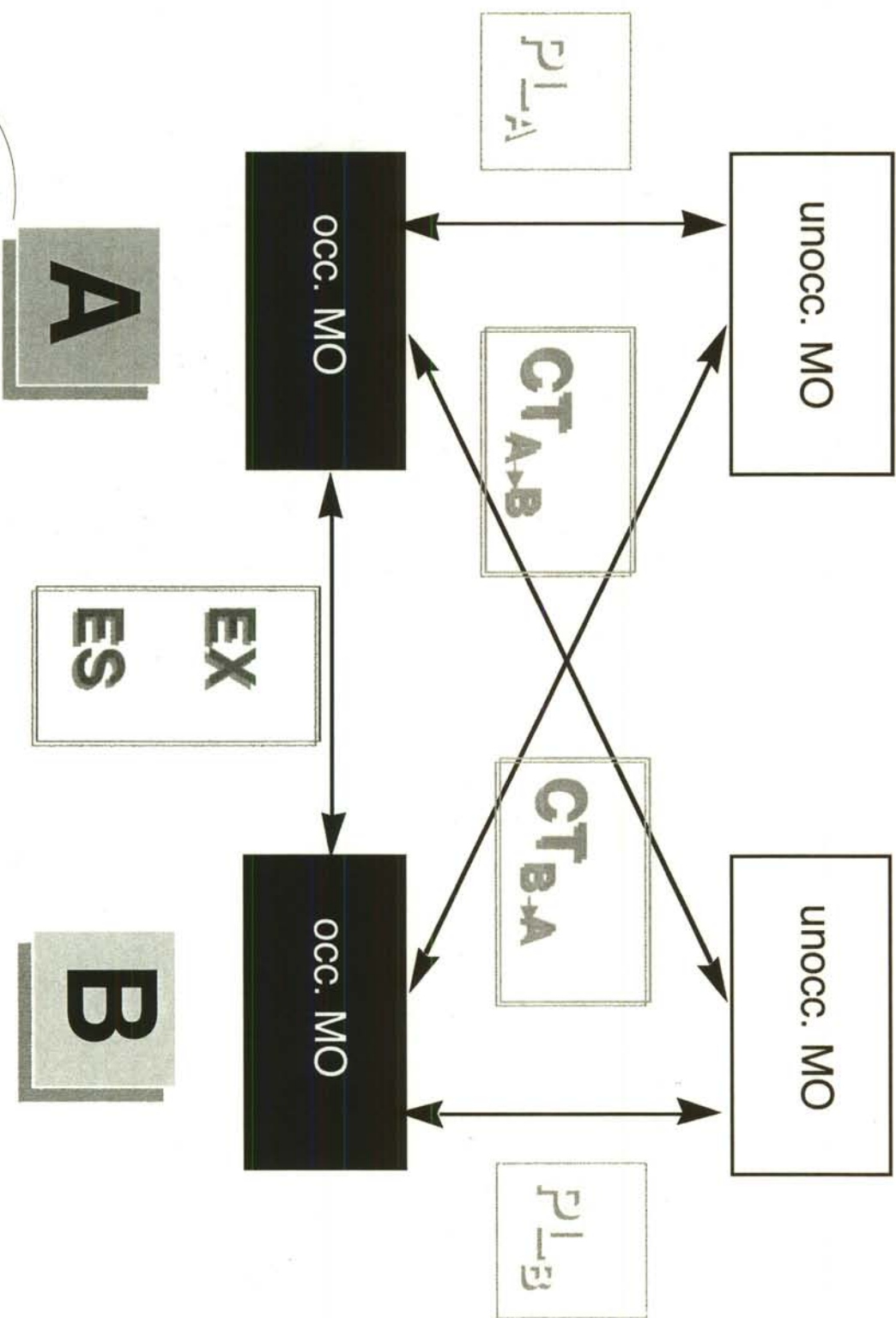
$H^+(H_2)$ proton cluster



$H^-(H_2)$ anion cluster



Orbital interaction scheme



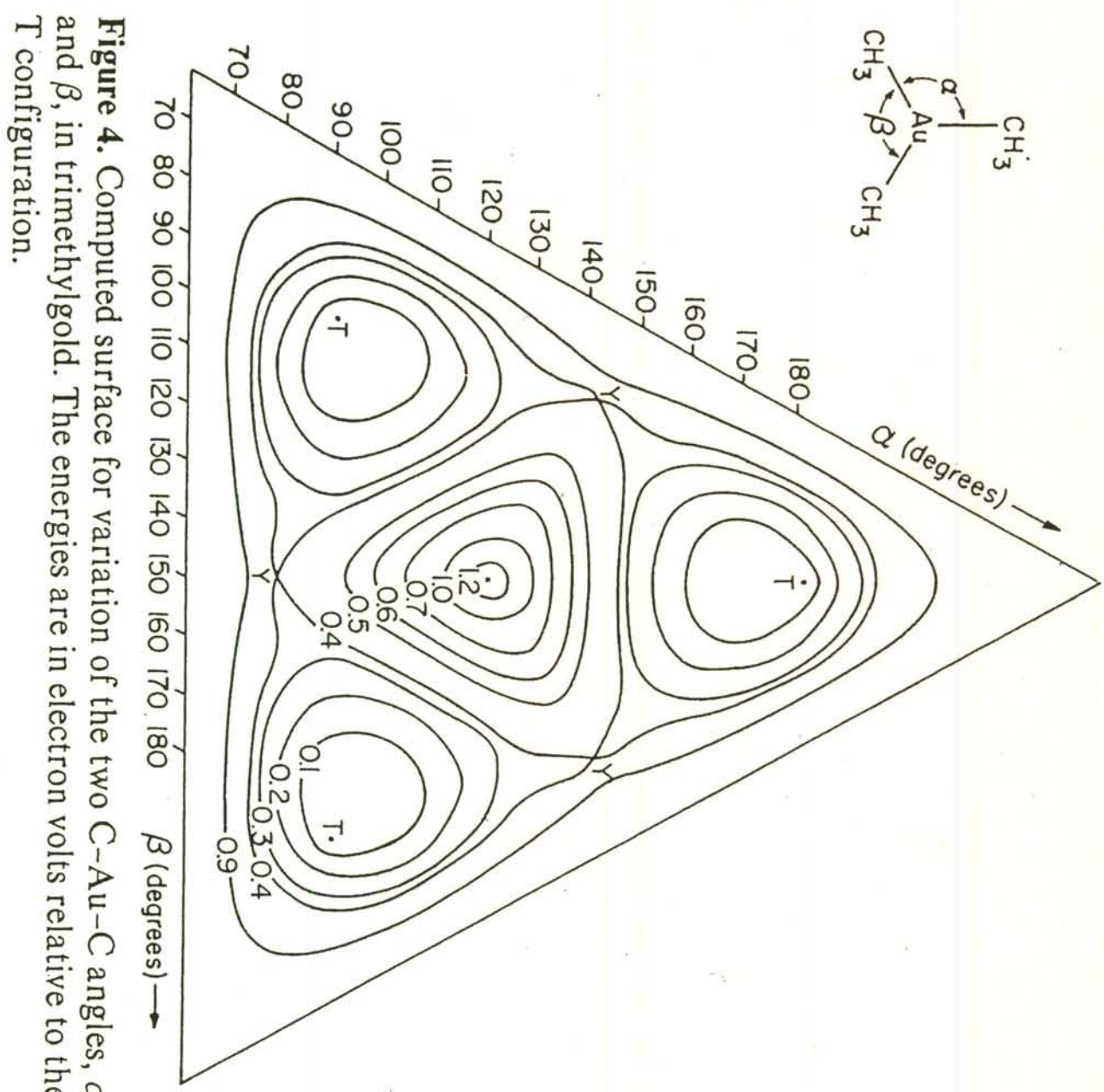
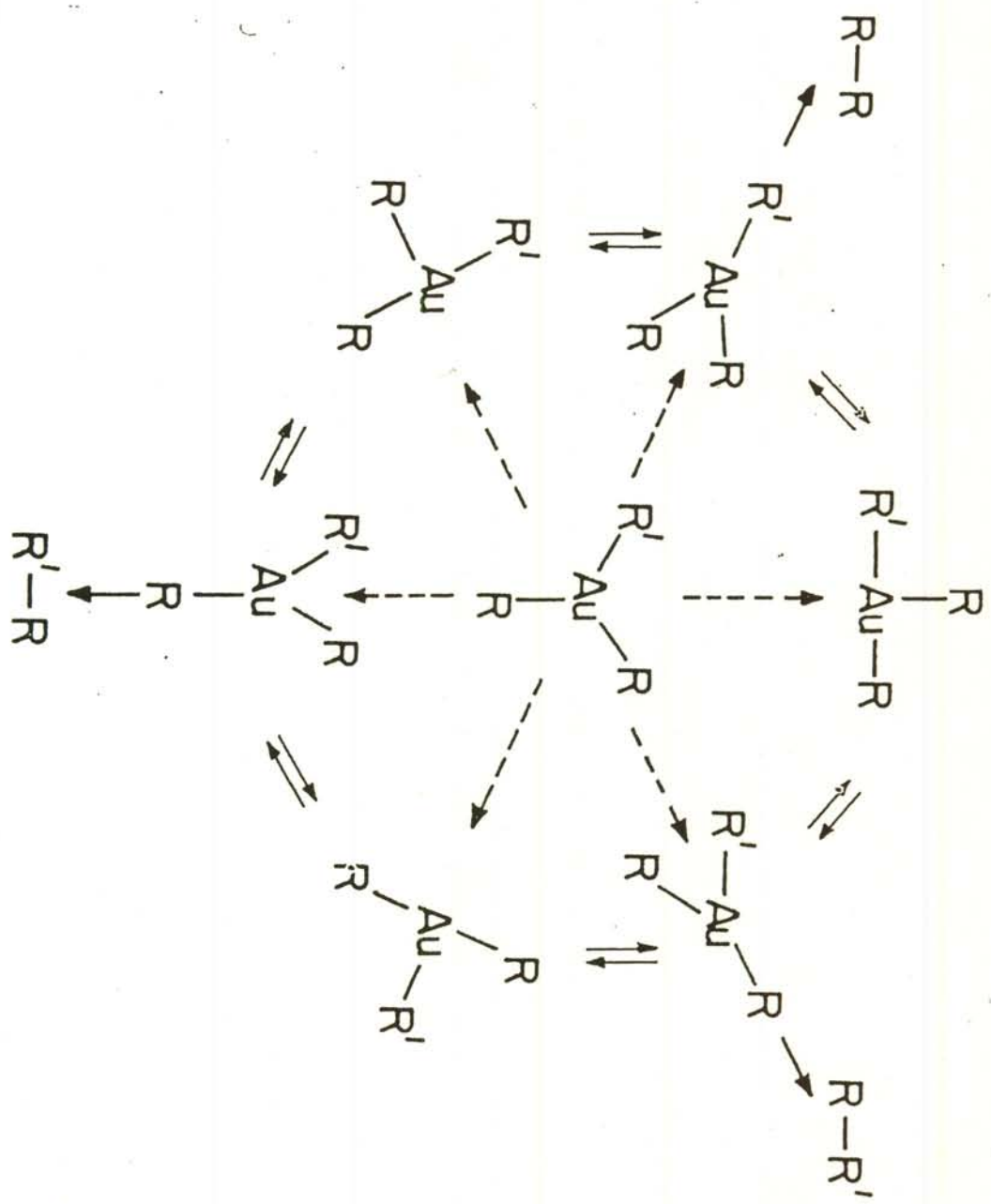


Figure 4. Computed surface for variation of the two C-Au-C angles, α and β , in trimethylgold. The energies are in electron volts relative to the T configuration.

Scheme IV



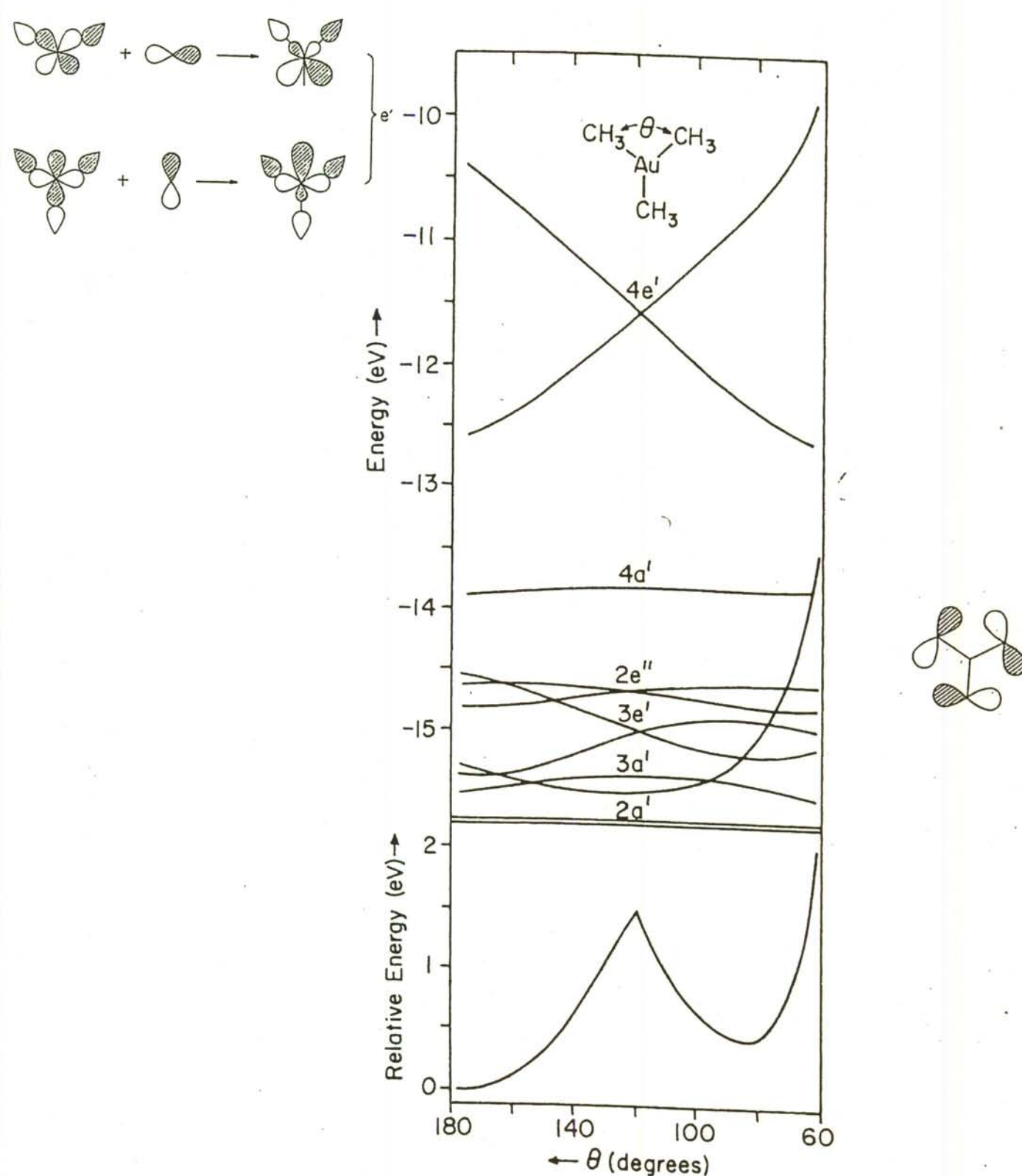


Figure 3. Top: A Walsh diagram for the valence levels of $\text{Au}(\text{CH}_3)_3$ as a function of the distortion angle θ . Bottom: Total energy for $\text{Au}(\text{CH}_3)_3$ as a function of θ .

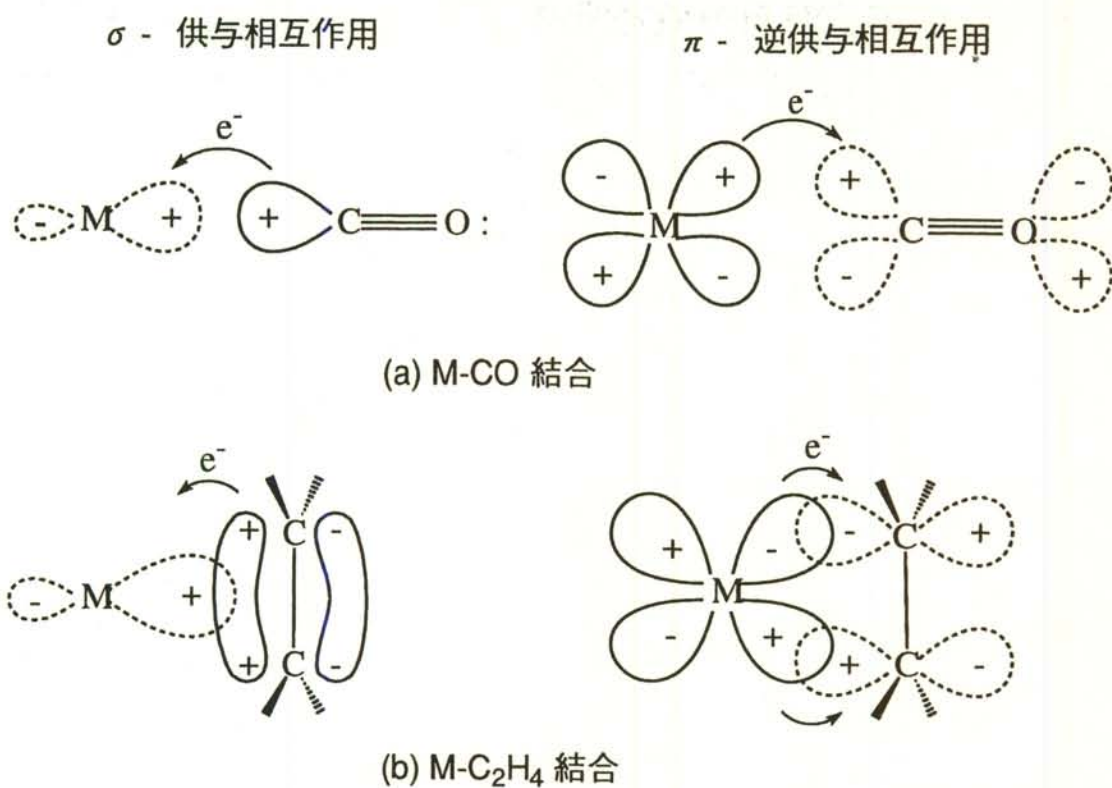


図 6.9 デュワー-チャット-ダンカンソンによる σ -供与, π -逆供与相互作用の模式図

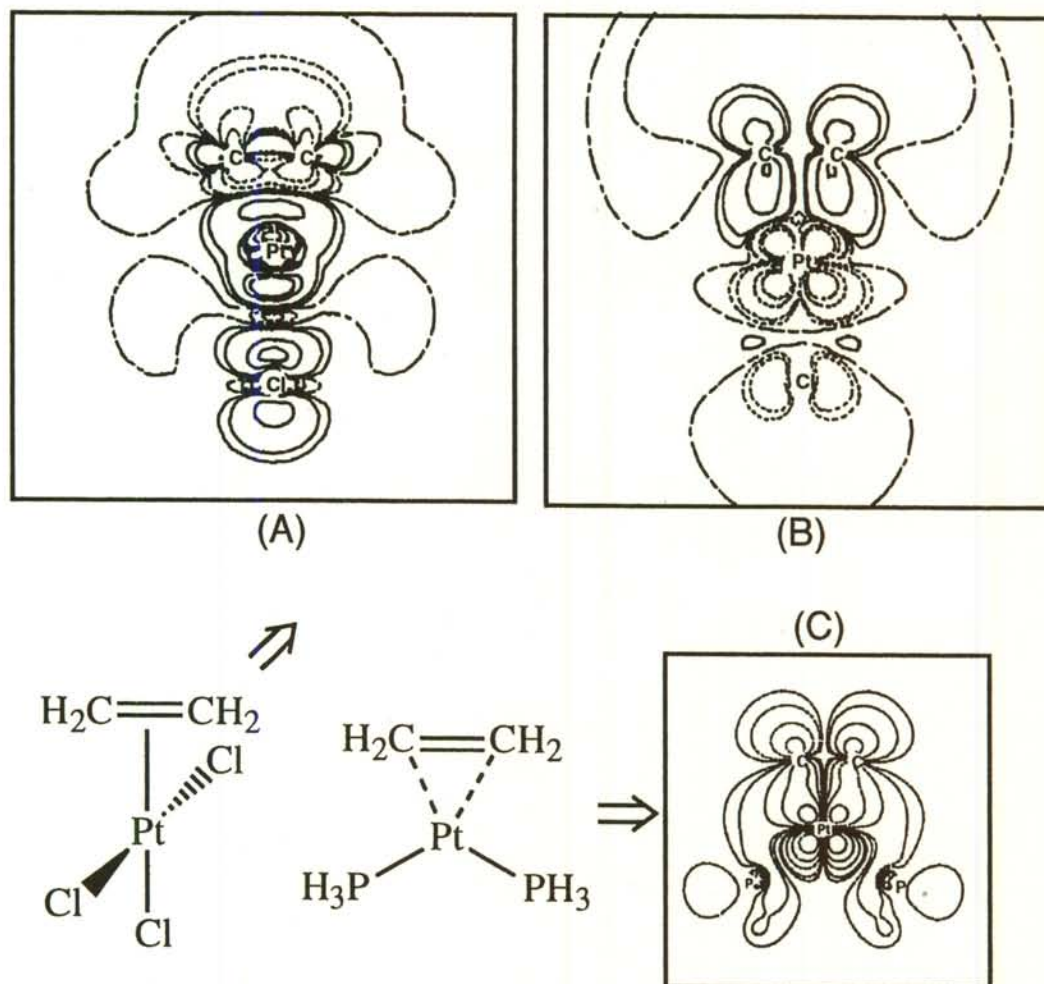
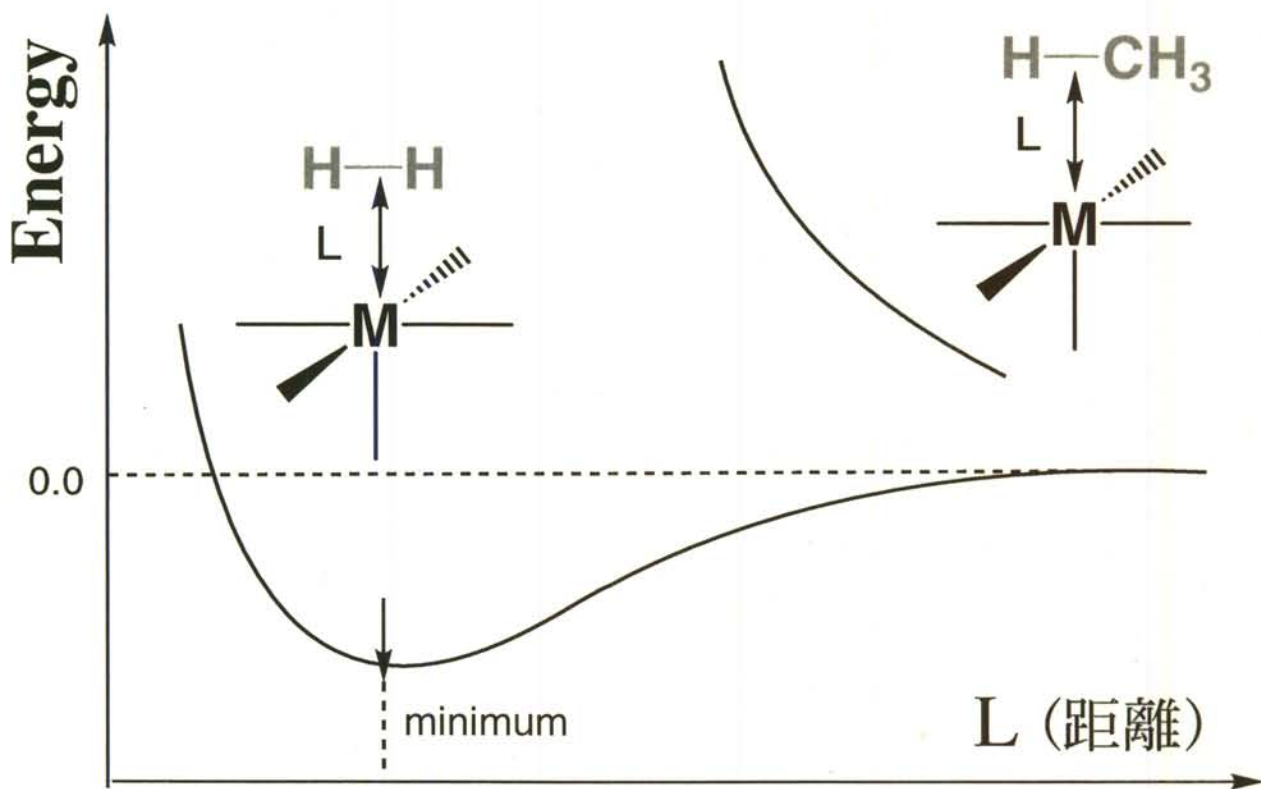
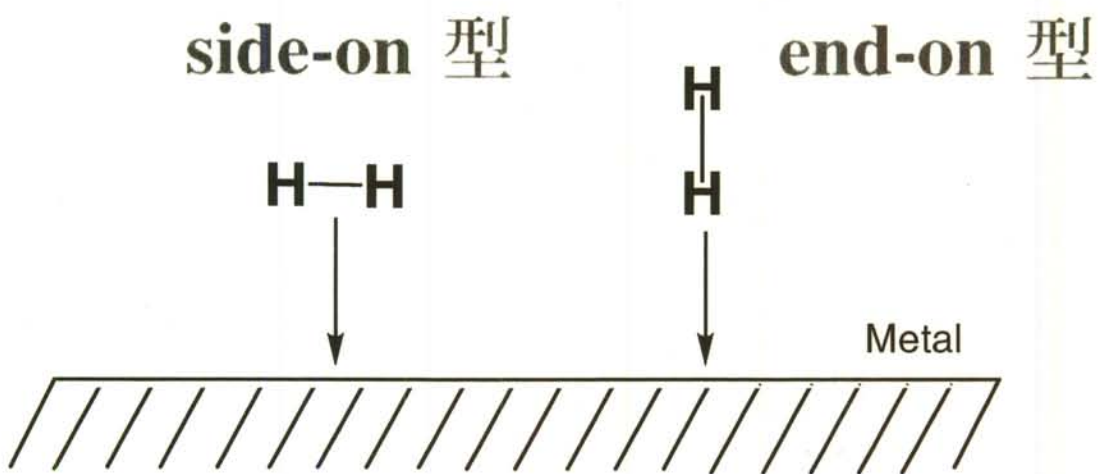
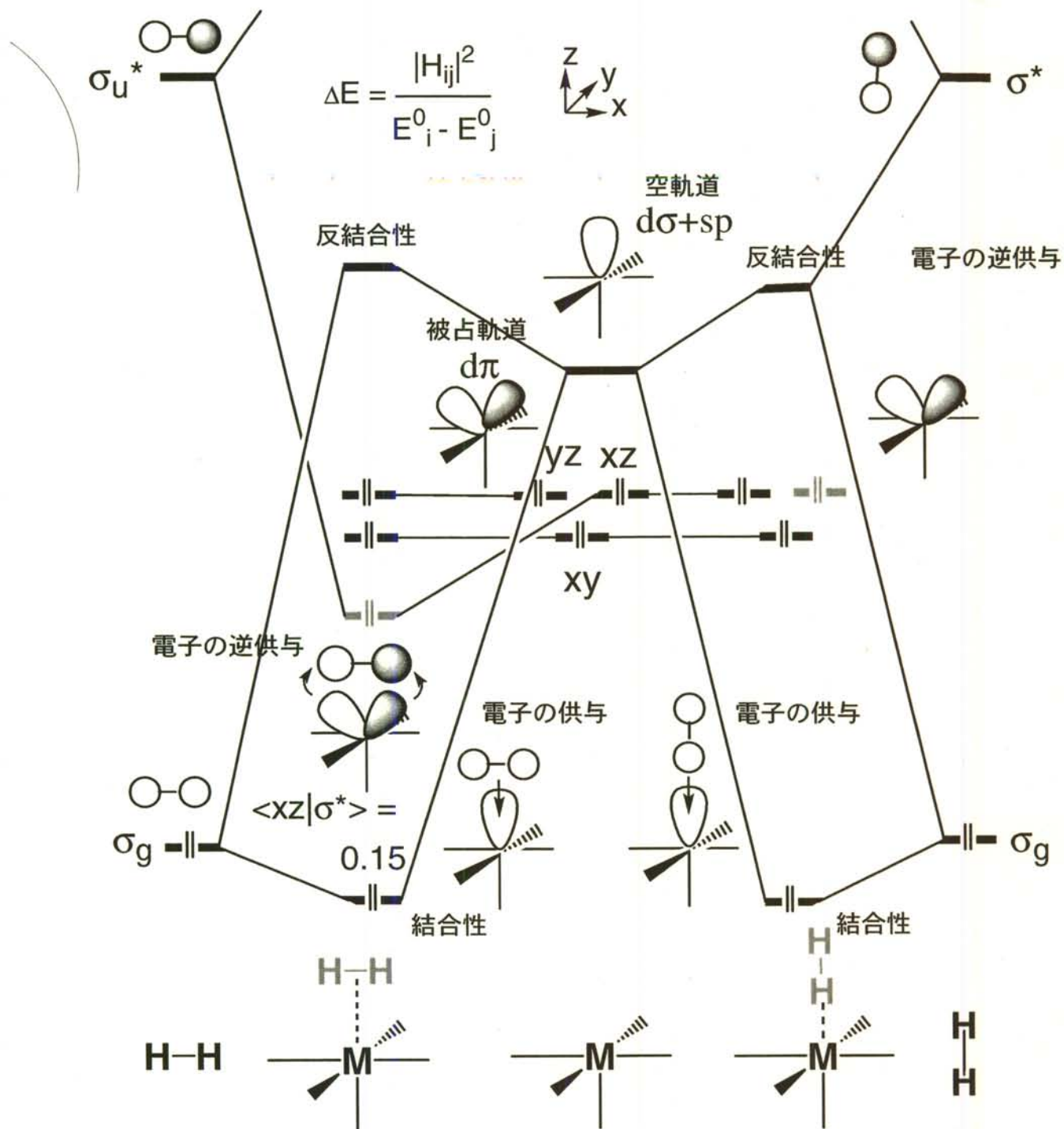


図 6.10 $[\text{PtCl}_3(\text{C}_2\text{H}_4)]^-$ における σ -供与性および π -逆供与性相互作用による電子密度変化 (A, B), また $\text{Pt}(\text{PH}_3)_2(\text{C}_2\text{H}_4)$ での逆供与性相互作用 (C) の MO

分子はどのように吸着するのか?

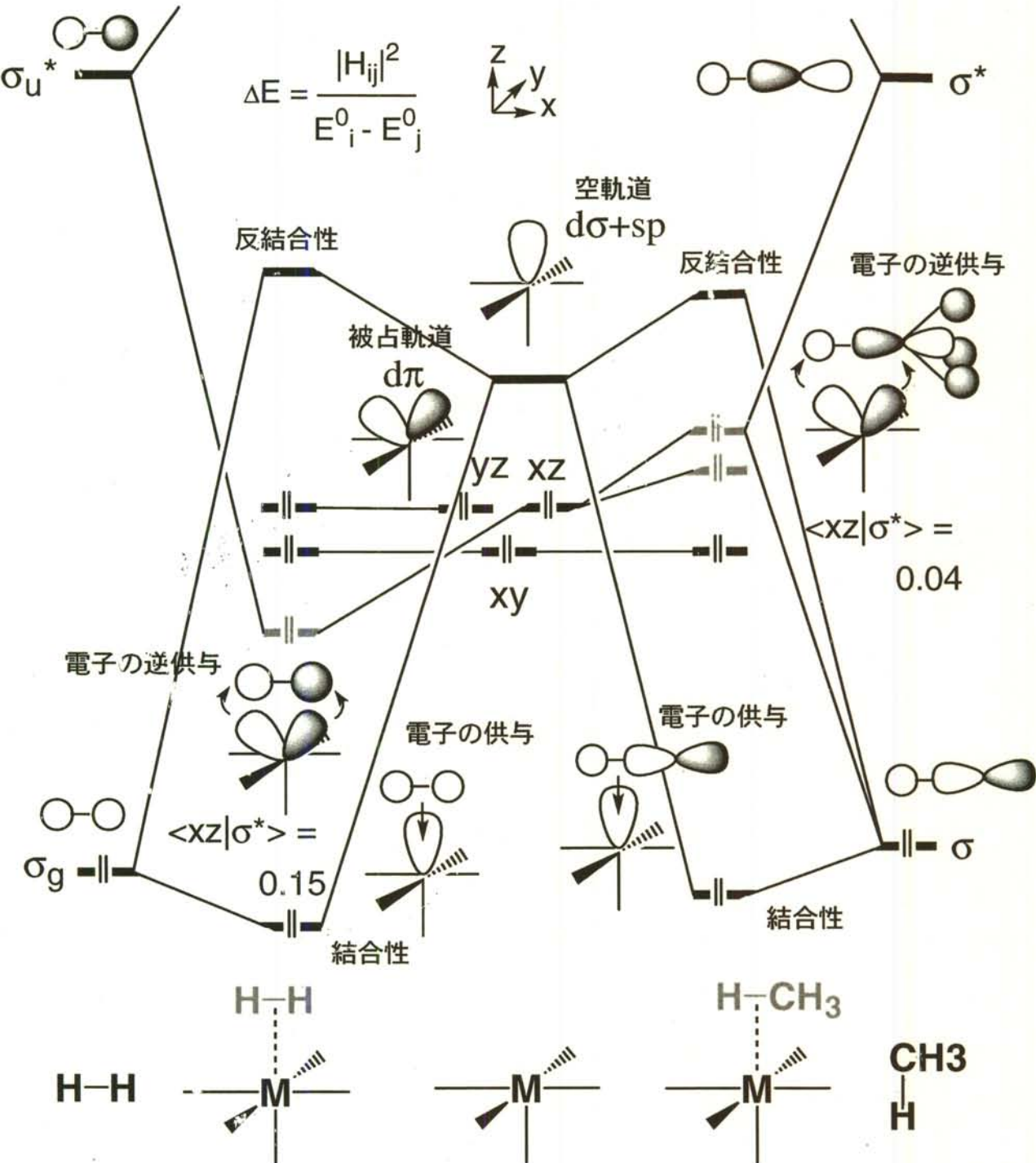


軌道相互作用ダイアグラム



2006
J.-Y. Saillard, R. Hoffmann, J. Am. Chem. Soc., 106, 454 (1984).

軌道相互作用ダイアグラム



J.-Y. Saillard, R. Hoffmann, *J. Am. Chem. Soc.*, **106**, 451 (1984).

2006

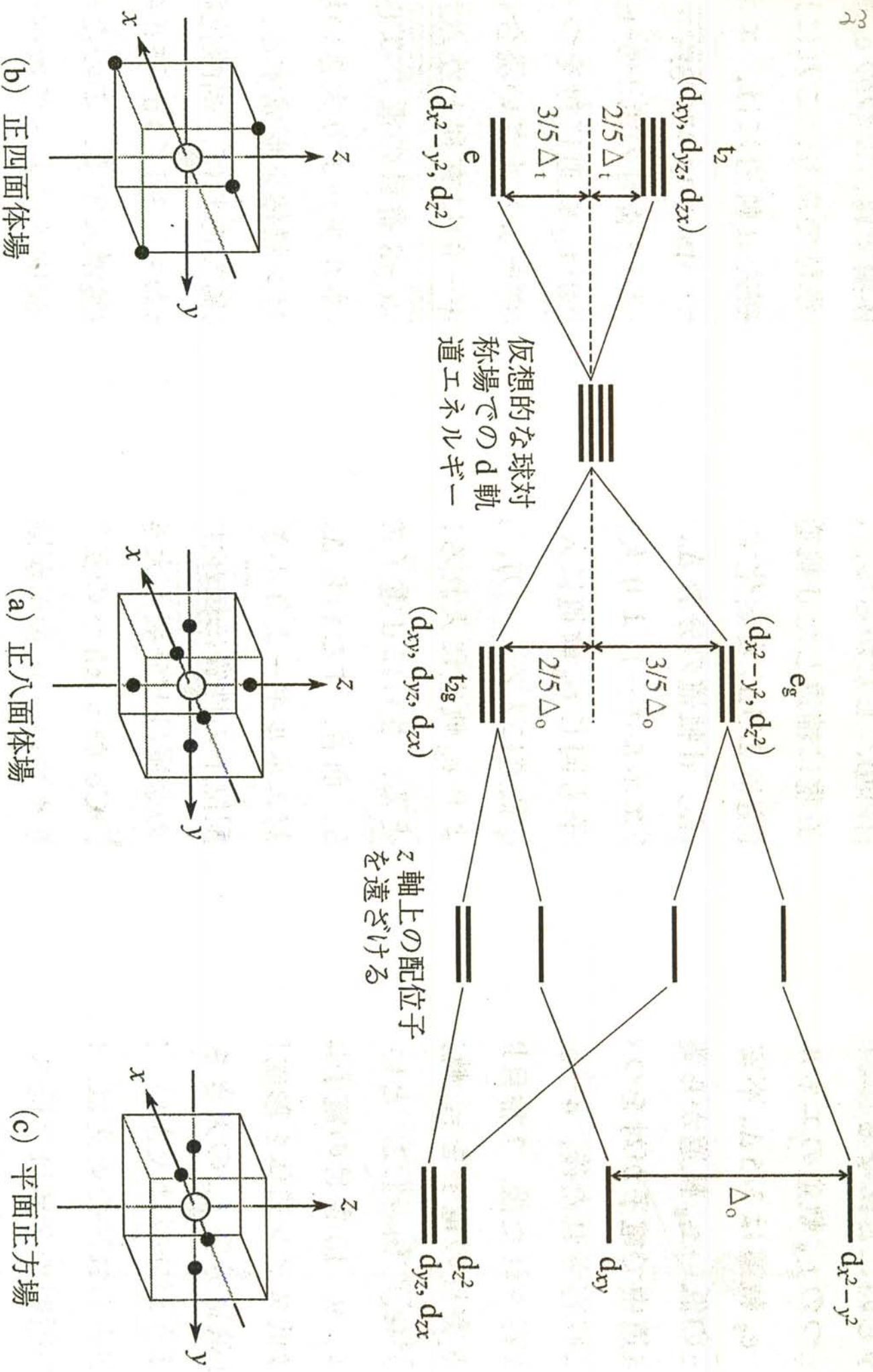


図 9・1 結晶場中のd軌道の分裂. ●は点電荷.

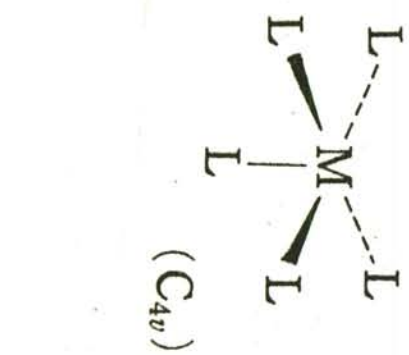
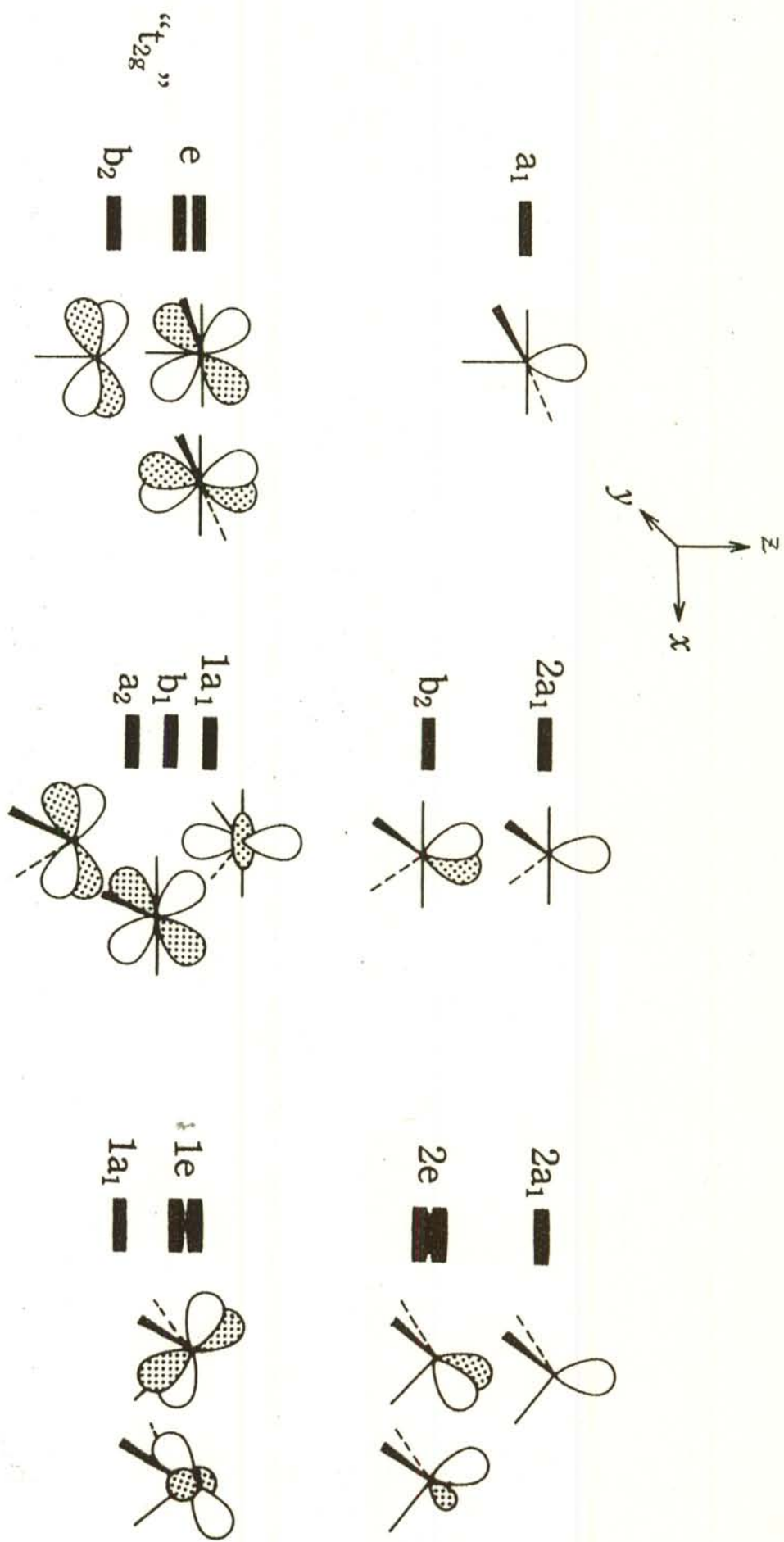
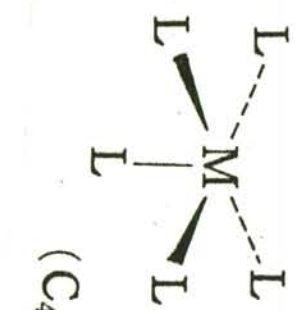


図 8.2 ML_n ($n=5, 4, 3$) のフロンティア軌道



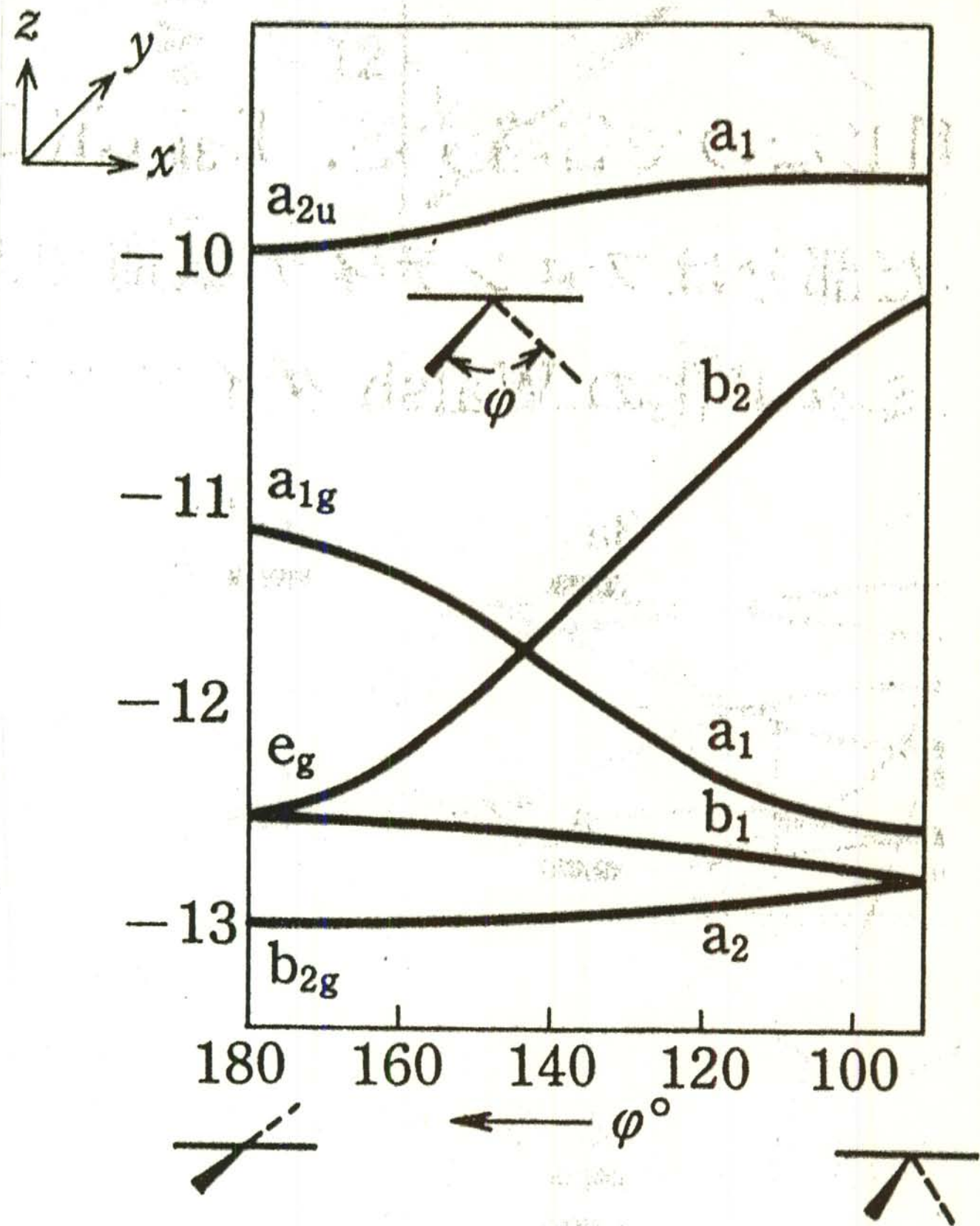


図 8.13 $D_{4h} M(CO)_4$ の C_{2v} 変形の
Walsh ダイアグラム

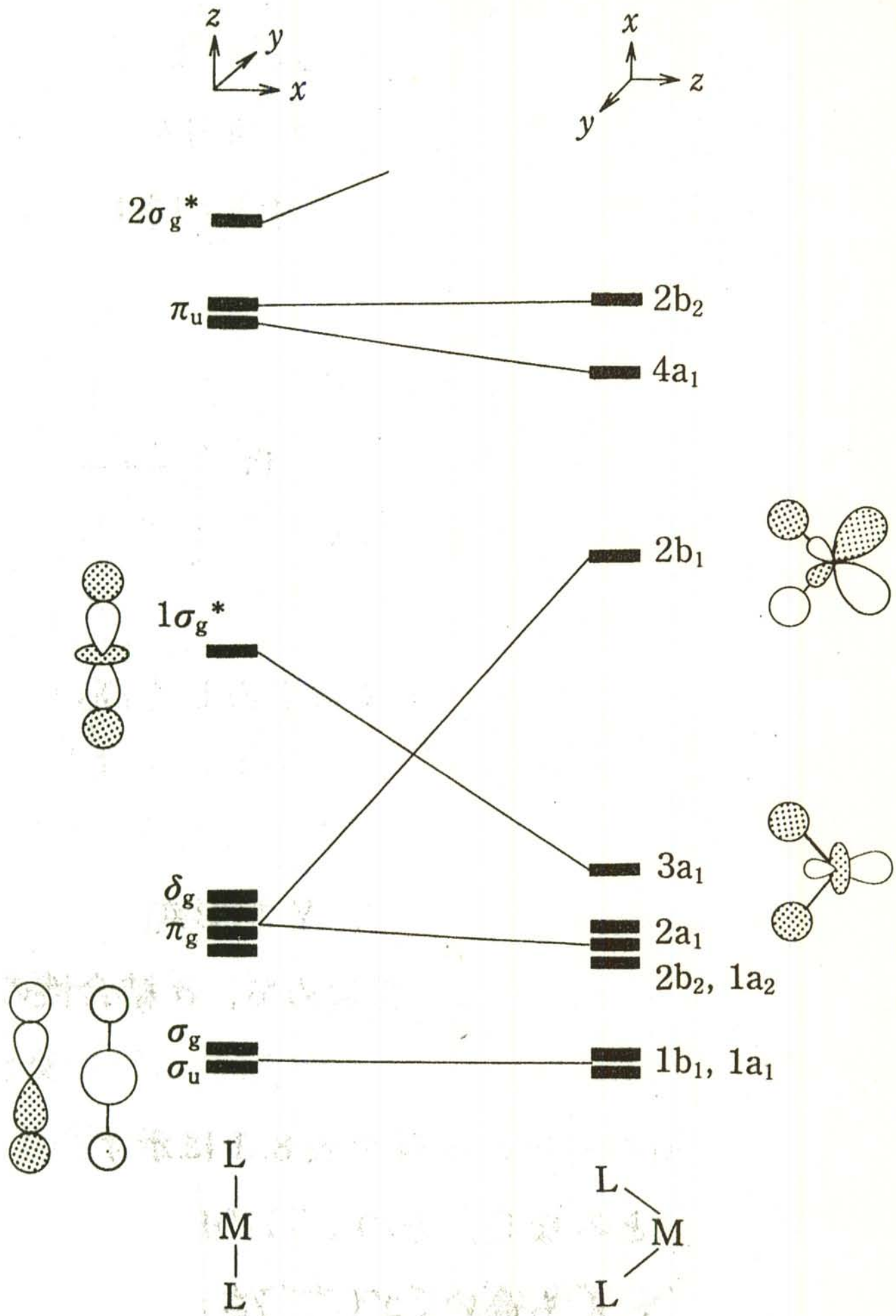
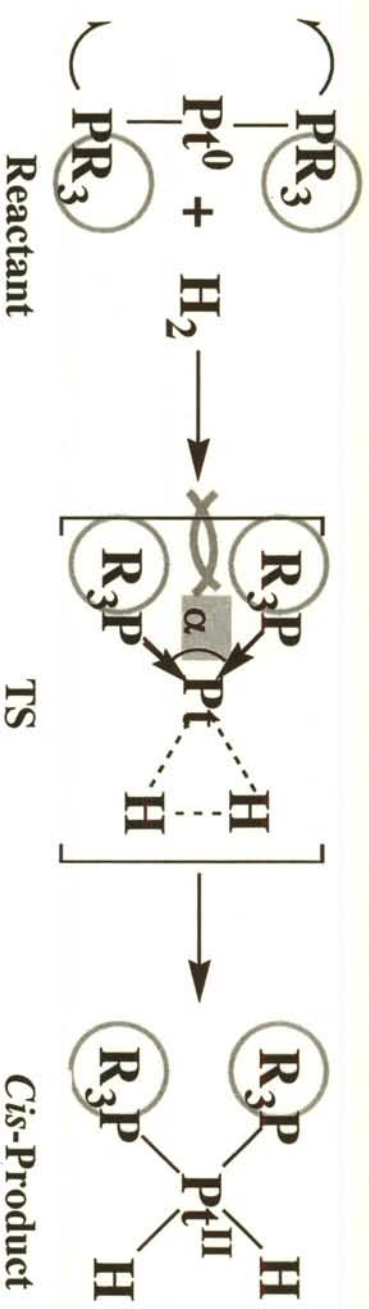


図 8.7 ML_2 の定性的 Walsh ダイアグラム

H₂ 分子のPt(PR₃)₂錯体への酸化的付加反応



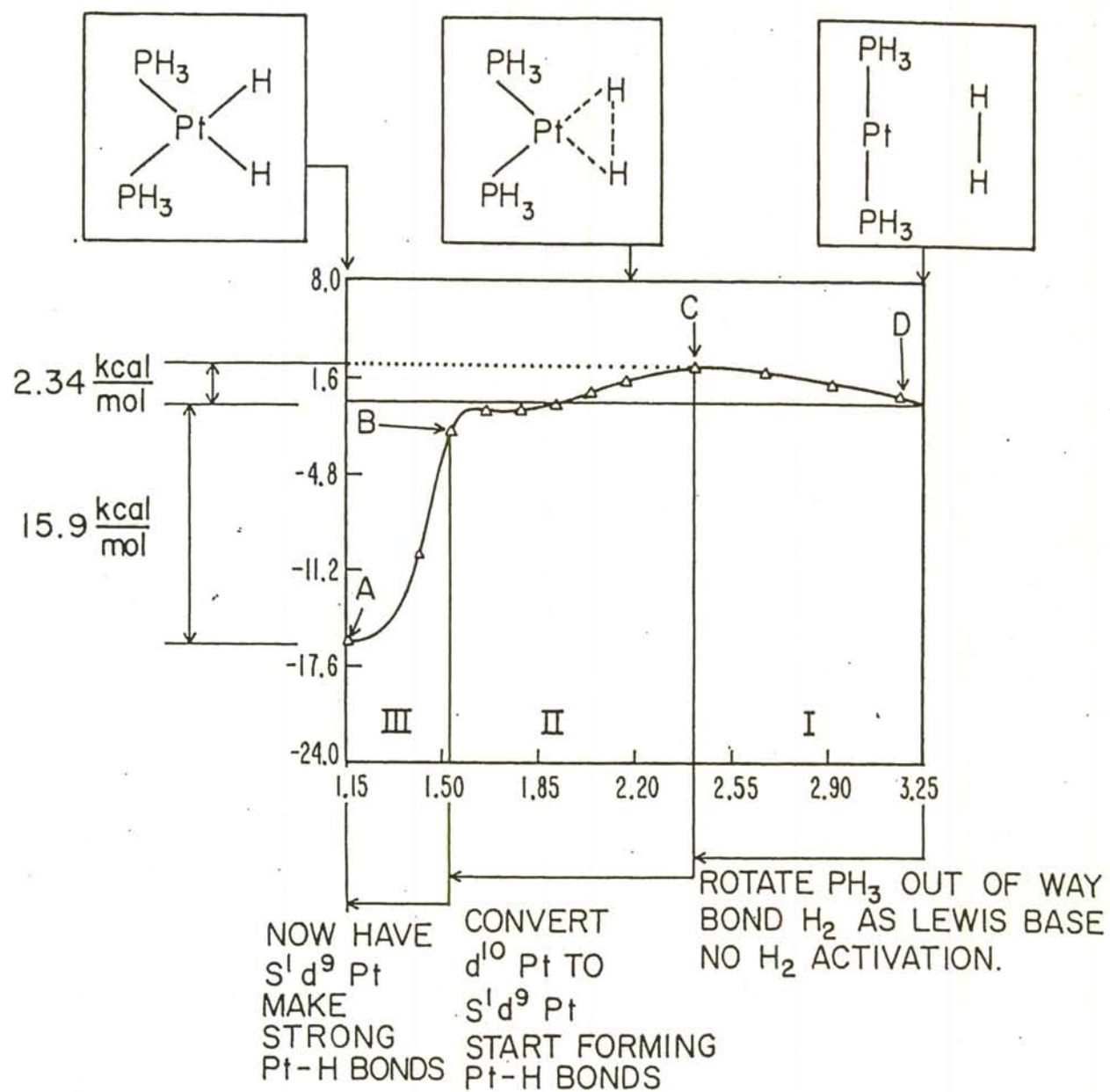
Experimental results

R = *i*-Pr, *c*-C₆H₁₁ (active)

t-Bu (inactive)



軌道相関図

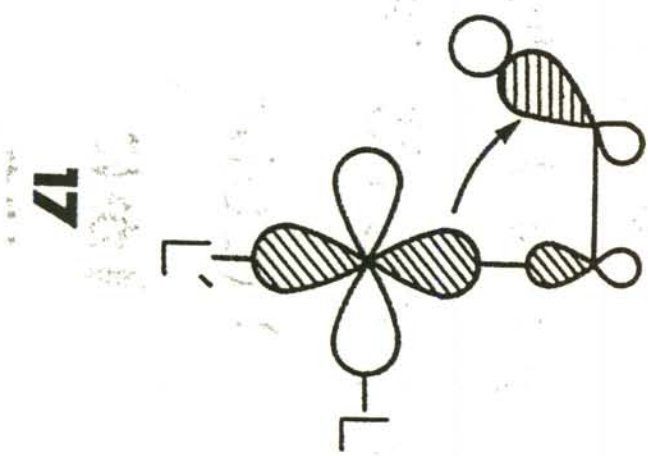
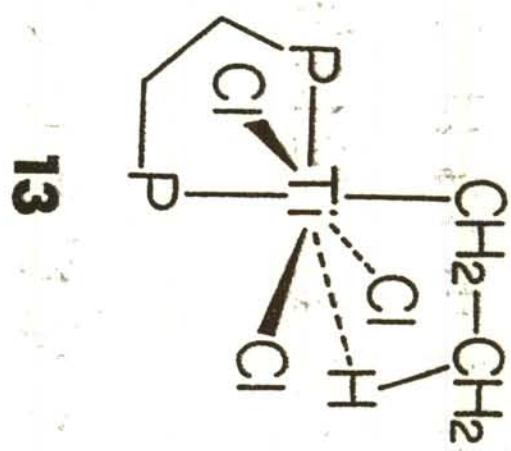
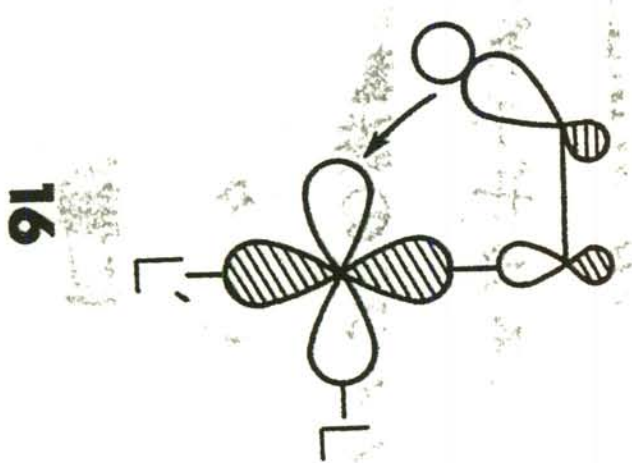
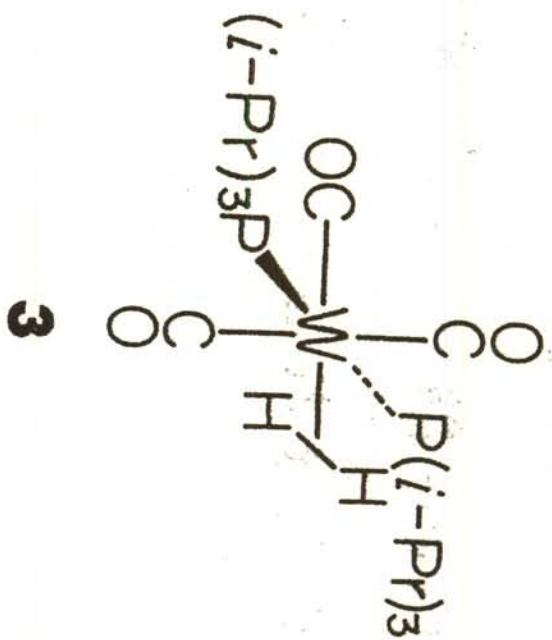


$\text{H}_3\text{P-Pt-Ph}_3$	100°	111°	153°	176°	180°
H-H	1.93\AA	1.10\AA	0.74\AA	0.73\AA	0.74\AA
Pt-H	1.50\AA	1.66\AA	2.45\AA	3.19\AA	∞

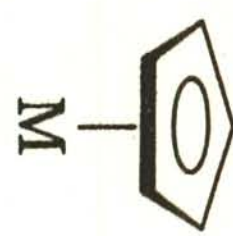
Figure 2. Potential energy curve along the reaction coordinate.

元素の周期表

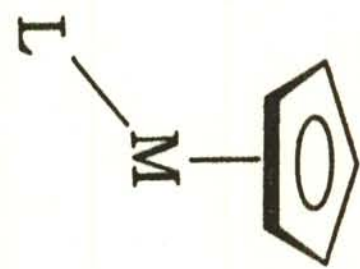
	1A	2A	3A	4A	5A	6A	7A	8	1B	2B	3B	4B	5B	6B	7B	O
1	H															He
2	Li	Be														
3	Na	Mg														
4	K	Ca	Sc	Ti	V	Cr	Mn	Fe	Co	Ni	Cu	Zn	Ga	Ge	As	Se
5	Rb	Sr	Y	Zr	Nb	Mo	Tc	Ru	Rh	Pd	Ag	Cd	In	Sn	Sb	Te
6	Cs	Ba	L	Hf	Ta	W	Re	Os	Ir	Pt	Au	Hg	Tl	Pb	Bi	Po
7	F	Ra	A													
	L	La	Ce	Pr	Nd	Pm	Sm	Eu	Gd	Tb	Dy	Ho	Er	Tm	Yb	Lu



(a)

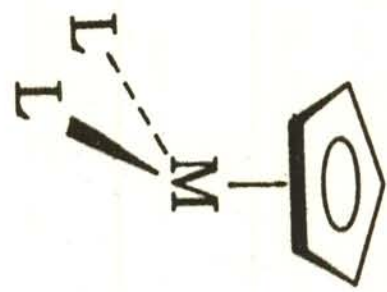


(b)

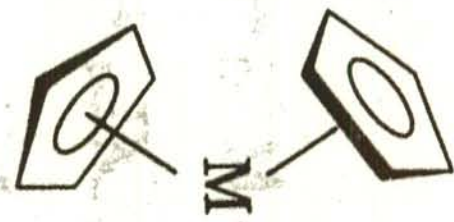


4

(c)



(d)



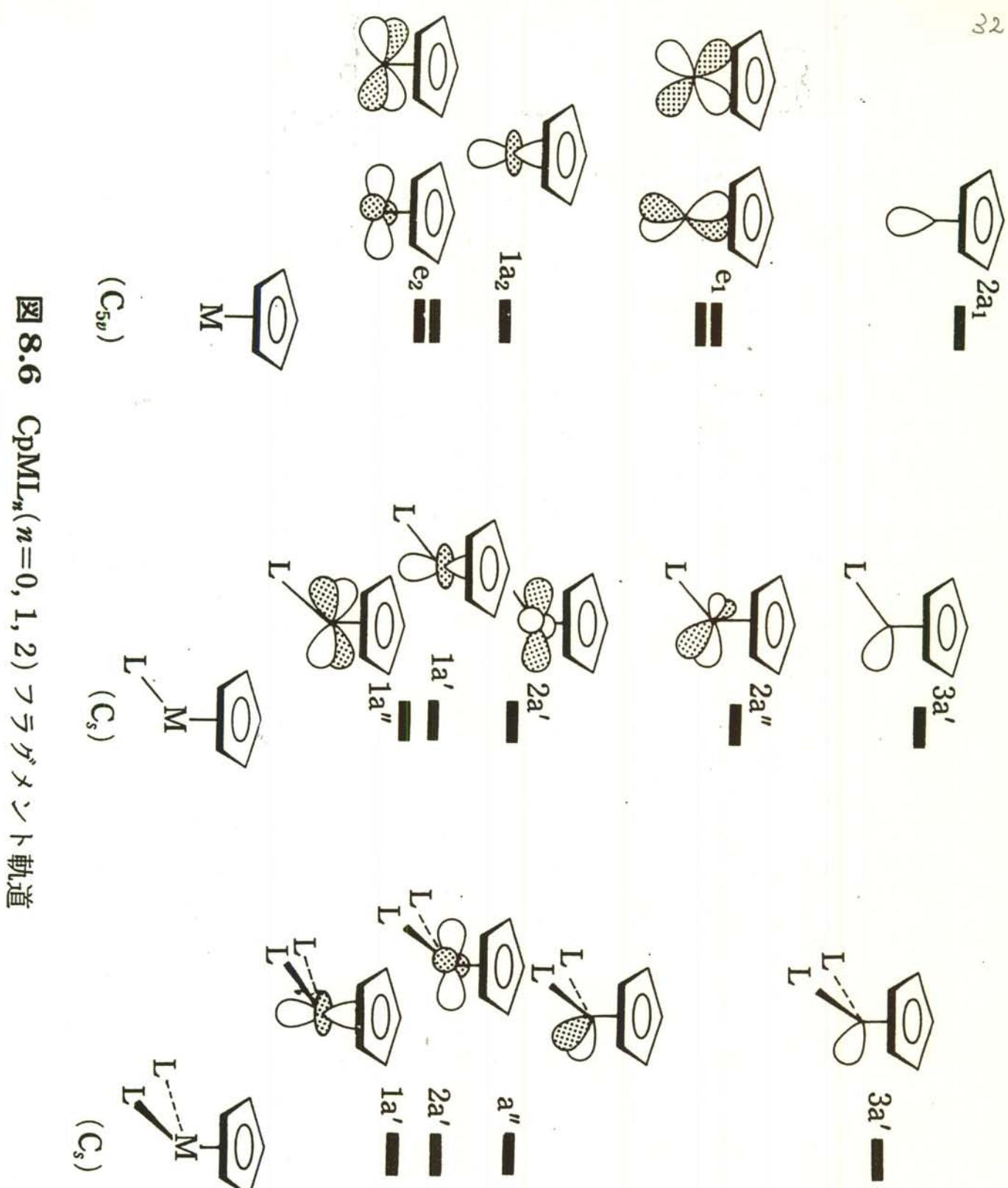


図 8.6 $\text{CpML}_n (n=0, 1, 2) \rightleftharpoons$ リガンド軌道

(C_{5v})

(C_s)

(C_s)

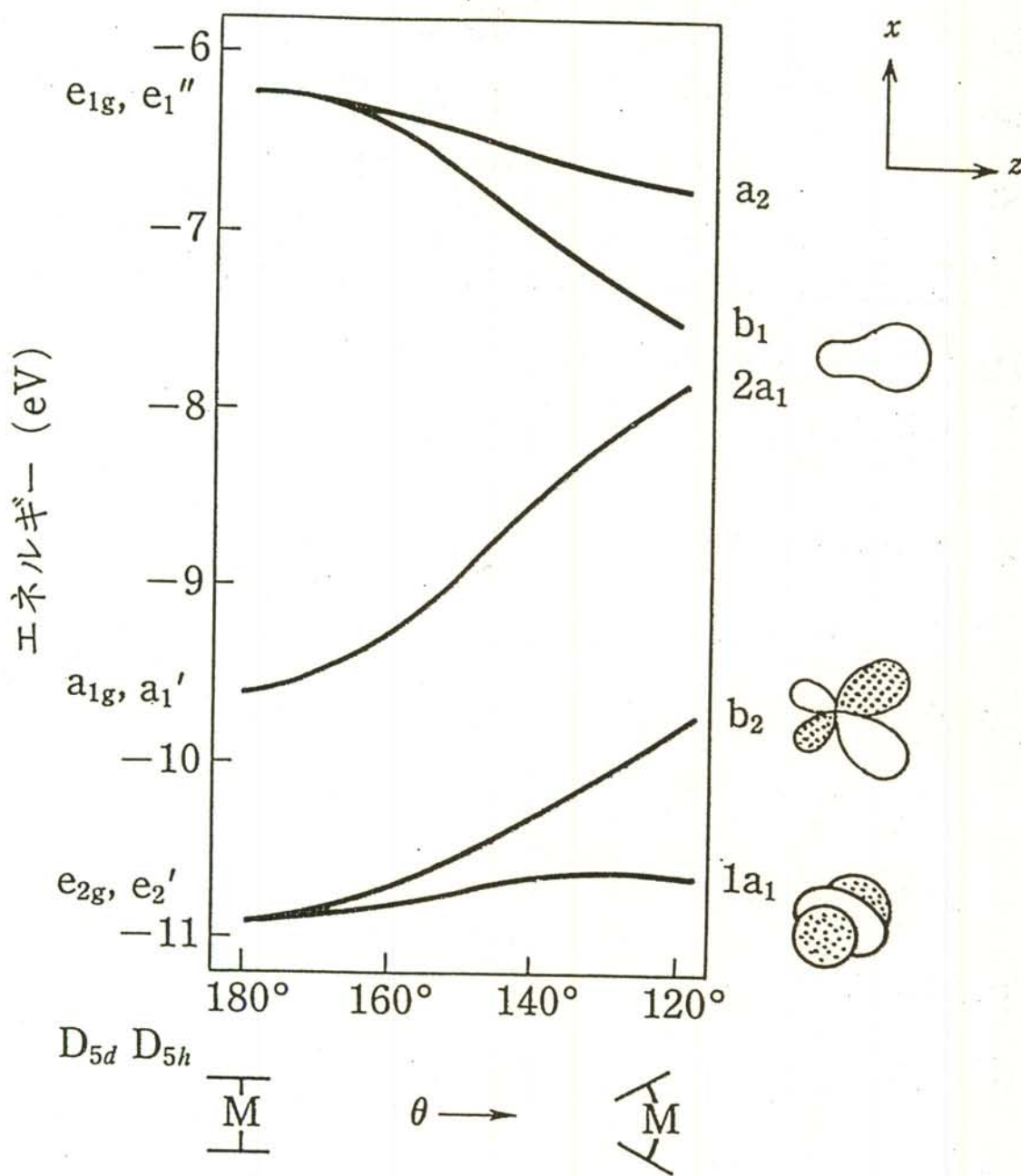
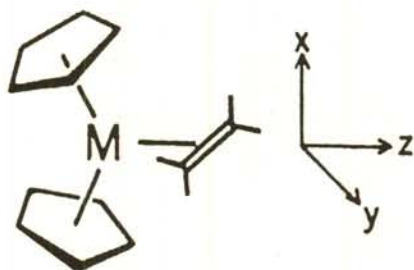


図 9.16 Cp_2M の Cp 環の二面角 θ° の変化に
伴う Walsh ダイアグラム

[J. W. Lauher, R. Hoffmann, *J. Am. Chem. Soc.*, **98**,
1730 (1976) より]

16

 Cp_2M

Ethylene

